

# II-29 $\text{NO}_3^-$ を用いた流出成分の分離に関する研究(1)

## —表層土壌から浸透水への $\text{NO}_3^-$ の供給状況—

山梨大学 学生員 本郷 善彦  
山梨大学 正会員 竹内 邦良  
山梨大学 正会員 坂本 康

### 1. はじめに

水質成分を用いた流出成分分離の研究のうち、 $\text{NO}_3^-$ をトレーサーとして用いたものには、すでに海老瀬ら(第26回水講、1982)の研究があり、筆者らもまた、その可能性について検討している(第27回水講、1983)。ここで筆者らが示した結論の一つは、 $\text{NO}_3^-$ を用いて流出成分分離を行なうためには、表層土壌から浸透水への $\text{NO}_3^-$ の供給状況、特にその時間変化を解明しなければならないということである。そこで今回は、土壌カラムに人工的な降雨を与えて、 $\text{NO}_3^-$ の溶出濃度変化を調べる室内実験を行なった。また、その結果から、 $\text{NO}_3^-$ の溶出モデルを検討した。

### 2. 実験方法

調査対象の相川(笛吹川の一派川)流域内の4地点(A:桑田、B:傾斜のほとんどない雑木林、C:傾斜のある雑木林、D:桜並木の土手)の表層約20cmの土を現地採取した。実験室に持ち帰った土は、あらかじめぬりにより小石や木の根、枯葉などを取り除き、図1に示すような内径19cm、高さ30cmの塩ビパイプにできるだけ一様につめ、これに人工的な降雨として、蒸留水を散布した。降雨強度は、アルミ皿の穴にかかる水圧を変化させることによって調節した。表1に、実験時(降雨終了直後のもの)降雨中の定常状態におけるものと同じ)の土の物理定数を示す。

### 3. 実験結果

図2に、累加浸透高 $\Sigma R$ (mm)と流出水の $\text{NO}_3^-$ -N濃度の関係を示す。流出水の濃度は、指數関数的に低減していくことがわかる。土A、B、Cでは、降雨強度を変化させて実験を行なうたが、各実験における初期濃度 $C_0$ (mg/l)は異なっている。これは、降雨強度による違いであるとともに、採取土のサンプリングバリエーションと考えられる。しかしながら図2中の表に示したように、 $\Sigma R$ に関する指數低減係数 $\alpha$ ある勾配 $\alpha$ は、同一地点から採取された土については同一になるという結果が得られた。すなわち、流出水の $\text{NO}_3^-$ -N濃度 $C_t$ (mg/l)は、

$$C_t = C_0 \cdot \exp(-\alpha \cdot \Sigma R) \quad (1)$$

と表わされ、各土の勾配 $\alpha$ は初期濃度 $C_0$ 、降雨強度 $\Sigma R$ によらず一定である。表1の降雨中の含水比と、図2の勾配 $\alpha$ を比較してみると、含水比が大きいほど勾配 $\alpha$ は小さくなっているらしいことがわかる。そこで以下にこの点を検討してみる。

### 4. 浸透水濃度の指數低減係数 $\alpha$ の検討

まず降雨中の土中水分量の影響として、浸透水が土壌カラムに滞まるみかけの滞留時間を考へる。すなわち、

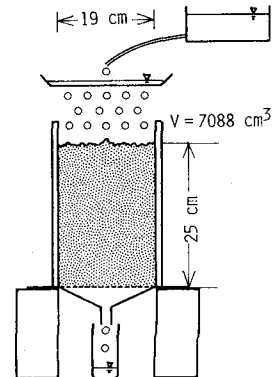


図1 実験装置

表1 実験時の土の物理定数

	湿润密度		含水比		間隙比		饱和度	
	乾	平均	W	平均	e	Sr	平均	
A 1	1.40		43.5		1.75	66.7		
	1.42		43.4		1.75	67.7		
	1.46	1.43	49.4	45.6	1.75	75.8		70.5
	1.42		49.1		1.75	71.9		
B 1	1.25		49.8		2.25	59.8		
	1.28		54.1		2.25	64.9		
	1.25	1.27	50.9	52.1	2.25	61.1		62.5
	1.28		53.6		2.25	64.3		
C 1	1.22		80.8		3.07	71.1		
	1.27	1.25	88.3	84.6	3.07	77.7		74.4
D 1	1.36		66.1		2.29	77.9		

平均流出量 $Q$  (cm<sup>3</sup>/hr) とカラム内の水分容積 $V_w$  (cm<sup>3</sup>) とを用いると、カラム内での水のみかけの滞留時間 $\tau$  (hr) は、

$$\tau = V_w / Q \quad (2)$$

表わされ、 $\tau/Q$  は、地中水のみかけの入替え回数となる。図3に、無次元化した時間であるこの入替え回数と流出水の $\text{NO}_3^-$ -N濃度の関係を示す。ここで勾配は、同一地点の土にフリマは一定であるが、採取地点の違いにより、0.57～1.91まで変化している。

次に、含水比 $w$  の影響について考察してみる。含水比 $w$  が大きいと、土粒子中に保持され滞まっている水分量が大きくなるために、実際には、入替え回数が多くしないと、同じ濃度だけ減少しない。すなわち、低減勾配 $\alpha$  は小さくなるはずである。図4は、この関係を確認するための図である。勾配 $\alpha$  と含水比 $w$  の関係は、両対数紙上で直線となり、その傾きは -2 である。土ののみならずこれで、他の資料と違って実験サンプルが1つであることから、現段階での理由を論ずることはできない。ちなみに、勾配 $\alpha$  に含水比の $2$ 乗を掛けると、表2に示すように、 $\alpha$  は一定に近づく。すなわち、

$$C_t = C_0 \cdot \exp(-\alpha' \cdot t/\tau \cdot 1/w^2) \quad (3)$$

とすると、 $\alpha' \approx 0.3 \sim 0.4$  となる。さらに粒子の微細構造を考慮することができれば、よりユニバーサルな値が得られるものと思われる。

## 5. おわりに

土壤浸透水への表層土壤からの $\text{NO}_3^-$  の供給状況は、累加浸透高 $\Sigma R$  をパラメータとすれば、その低減係数 $\alpha$  は、同一地点から採取した土に対しては、一定になることがわかった。さらに、みかけの滞留時間、含水比をパラメータとして考慮すれば、係数 $\alpha$  は、あらゆる土壤に共通な値として整理しうる可能性のあることがわかった。

流域内各地点の土壤の違いによる物理定数、初期濃度の違いや、その他空間的なばらつきは、流出水の成分分離のために極めて重要な問題であり、今後は、この問題をも含めてさらに検討していくたい。

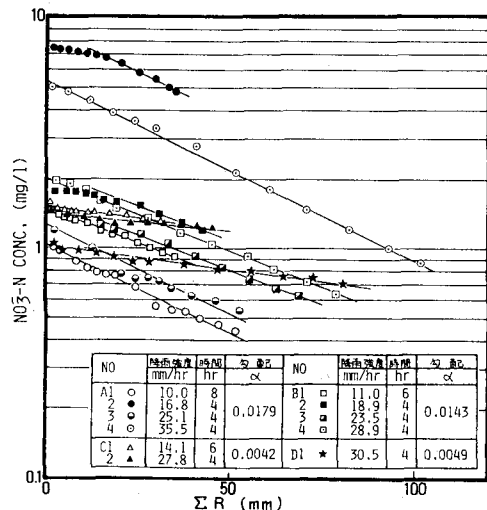


図2 累加浸透高と流出水の $\text{NO}_3^-$ -N濃度

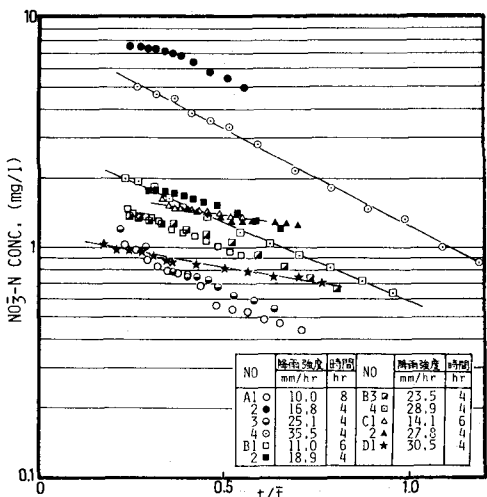


図3 入替え回数と流出水の $\text{NO}_3^-$ -N濃度

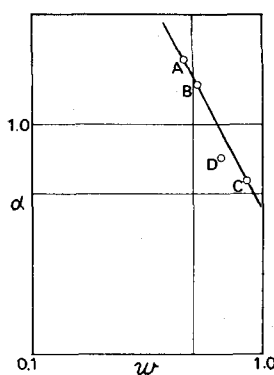


図4 含水比 $w$  と勾配 $\alpha$  の関係

表2 勾配 $\alpha$  の比較

	$t/\tau$ に対する勾配	$t/\tau \cdot 1/w^2$ に対する勾配
A	1.91	0.39
B	1.48	0.40
C	0.57	0.41
D	0.72	0.31